

на каустике

$$(3.25) \quad m_2 \approx \frac{2m_2^\alpha \Gamma\left(\frac{1}{4}\right)}{\sqrt{2\pi\sigma^{1/4} (2(kK)^2 ((\delta u_2 kK)^2 - 1))^{1/4}}}$$

где  $\Gamma$  — гамма-функция. Эта формула справедлива всюду на каустике, кроме точки  $O'$  (и ее окрестности). А в точке  $O'$  справедливо разложение  $f \approx \frac{1}{36} (\delta u_2 (kK)^3)^2 (u_2'^* - y)^6$ , оно позволяет вычислить  $m_2$  по формуле

$$(3.26) \quad m_2 \approx \frac{m_2^\alpha}{3\sigma^{1/3}} \sqrt{\frac{2}{\pi}} \Gamma\left(\frac{1}{6}\right) (Kk (\delta u_2)^{1/3}).$$

Условие применимости (3.26) имеет вид

$$m_2' \ll 1, \quad kd/m_2' \gg 1, \quad kd < 1,$$

где  $m_2' \approx m_2^0 (\delta u_2^2/\sigma)^{1/3}$ ;  $\sigma/\delta u_2^2 < 1$ ;  $m_2^0 \ll 1$ .

Таким образом, показано, что в континуально-дискретной модели, не учитывающей объема частиц, малые возмущения, возникшие в момент  $t = 0$  на  $-\infty < x < +\infty$ , остаются всюду конечными в полу平面ости  $t > 0$ ,  $-\infty < x < +\infty$ . Максимум возмущений достигается на каустиках, определяемых уравнением (3.24), а их величина обратно пропорциональна ширине функции распределения в дробной степени (3.25), (3.26), в то время как в двухжидкостной модели (без учета объема частиц) малые возмущения неограниченно растут на каустиках по закону (3.21).

#### ЛИТЕРАТУРА

1. Клебанов Л. А., Крошишин А. Е. и др. О гиперболичности, устойчивости и корректности задачи Коши для системы уравнений двухскоростного движения двухфазных сред. — ПММ, 1982, т. 46, вып. 1.
2. Крайко А. Н. О корректности задачи Коши для двухжидкостной модели течения смеси газа с частицами. — ПММ, 1982, т. 46, вып. 3.
3. Крайко А. Н. К теории двухжидкостных течений газа и диспергированных в нем частиц. — В кн.: Гидродинамика и теплообмен в двухфазных средах. Матер. II Всесоюз. шк. по теплофизике. Новосибирск, 1981.
4. Иорданский С. В., Куликовский А. Г. О движении жидкости, содержащей мелкие частицы. — Изв. АН СССР. МЖГ, 1977, № 4.
5. Мясников В. П. Статистическая модель механического поведения дисперсных систем. — В кн.: Механика многокомпонентных сред в технологических процессах. М.: Наука, 1978.
6. Крайко А. Н., Стернин Л. Е. К теории течений двухскоростной сплошной среды с твердыми или жидкими частицами. — ПММ, 1965, т. 29, вып. 3.
7. Зельдович Я. Б., Мышикин А. Д. Элементы математической физики. М.: Наука, 1973.
8. Зельдович Я. Б., Мышикин А. Д. Элементы прикладной математики. М.: Наука, 1972.

Поступила 14/XII 1984 г.

УДК 629.7.018.3

#### РАСЧЕТ НЕРАВНОВЕСНЫХ ПАРАМЕТРОВ ВОЗДУХА НА ПОВЕРХНОСТИ МОДЕЛЕЙ И В СЛЕДАХ ЗА НИМИ ДЛЯ УСЛОВИЙ АЭРОБАЛЛИСТИЧЕСКИХ ЭКСПЕРИМЕНТОВ

И. Г. Еремейцев, Н. Н. Пилюгин

(Москва)

Расчет неравновесного квазидинамического течения химически реагирующих газовых смесей представляет практический интерес в связи с изучением релаксационных процессов, получением газодинамических струй для физических измерений, а также исследованием плазменных сверхзвуковых явлений в следе за телом и т. д.

В [1—8] и др. приведены расчеты химически неравновесных сверхзвуковых квазидинамических течений. При этом используются различные алгоритмы решения таких задач для течений в соплах и трубках тока около тела. В настоящее время с по-

мощью трубок тока для некоторых условий обтекания рассчитаны поля неравновесных параметров на поверхности сферически затупленных конусов, а результаты расчетов для невязкого течения в следах отсутствуют. При расширении за кормовым срезом тела, где резко снижается температура газа, необходимо дополнительно учитывать важные реакции с участием электронов, отрицательных ионов и многоатомных молекул. Для сопоставления и обработки результатов аэробаллистических экспериментов необходимы также расчеты неравновесных параметров при обтекании тел с другими формами поверхности в широком диапазоне изменения исходных параметров. Однако отсутствие удобных и быстрых для реализации на ЭВМ методик расчета на позволяло до сих пор проводить такие сопоставительные исследования и давать практические рекомендации.

В [9] детально изучена задача о течении химически неравновесного, частично ионизованного многокомпонентного, невязкого газа из сферического сверхзвукового источника; из расчетов видно, что в ряде важных случаев можно использовать постоянное значение эффективного показателя адиабаты, что дает возможность получить однозначную связь между площадью трубы тока и давлением газа.

В данной работе представлен единый алгоритм расчета на ЭВМ прямой и обратной квазидномерной задачи о течении химически неравновесного многокомпонентного воздуха. На основе разработанной методики расчета обсуждаются постановки и пути решения ряда задач неравновесной аэродинамики.

1. Рассмотрим стационарное квазидномерное течение химически неравновесного газа. Система безразмерных уравнений, описывающая такое течение, имеет вид [1]

$$(1.1) \quad \begin{aligned} \rho v S(x) &= 1, \quad \rho v \frac{dv}{dx} = -\frac{dp}{dx}, \\ \frac{d}{dx}(h + v^2) &= 0, \quad \rho v \frac{dc_i}{dx} = W_i, \quad i = 1, 2, \dots, N, \\ h &= \sum_{i=1}^N c_i h_i = \sum_{i=1}^N c_i \left( \int_0^T c_p i dT + h_i^0 \right), \quad c_i = \rho_i / \rho, \\ p &= \rho T m_* \sum_{i=1}^N \frac{c_i}{m_i}, \quad \sum_{i=1}^N c_i = 1, \quad [X_i] = \frac{c_i}{m_i} \rho, \\ W_i &= \frac{l_*}{\rho_* v_*} m_i I_i, \quad \sum_{i=1}^N a_{ij} X_i \xrightarrow[\kappa_{bj}]{} \sum_{i=1}^N b_{ij} X_i, \quad j = 1, 2, \dots, N_r, \\ I_i &= \sum_{j=1}^{N_r} (b_{ij} - a_{ij}) \left\{ k_{fj} \prod_{k=1}^N [X_k]^{a_{kj}} - k_{bj} \prod_{k=1}^N [X_k]^{b_{kj}} \right\}. \end{aligned}$$

Здесь  $S_*S$  — площадь трубы тока;  $l_*x$  — продольная координата;  $v_*v$ ,  $\rho_*\rho$ ,  $\rho_*v_*^2 p$ ,  $\frac{m_* v_*^2}{R_A} T$ ,  $\frac{v_*^2}{2} h$  — скорость, плотность, давление, температура и энталпия газа;  $c_i$ ,  $m_i$  — массовая концентрация и молекулярный вес  $i$ -го компонента;  $N$  — число химических компонентов;  $R_A$  — универсальная газовая постоянная;  $W_i$  — скорость образования  $i$ -го компонента в результате химических реакций и ионизации;  $N_r$  — число реакций;  $k_{fj}$ ,  $k_{bj}$  — константа прямой и обратной химических реакций;  $a_{ij}$ ,  $b_{ij}$  — стехиометрические коэффициенты;  $[X_i]$  — мольно-объемная концентрация  $i$ -го компонента;  $c_p i R_A / 2m$  — теплоемкость  $i$ -го компонента при постоянном давлении;  $(v_*^2/2) h_i^0$  — удельная энталпия образования  $i$ -го компонента; звездочкой отмечены характерные размерные величины данной задачи. Для замыкания системы (1.1) в прямой задаче задается форма трубы тока, т. е. зависимость площади поперечного сечения  $S$  от продольной координаты  $x$ , в обратной — изменение по  $x$  давления  $p$ .

Сделаем переход в уравнениях (1.1) от продольной координаты  $x$  к координате расширения трубы тока  $r$  посредством замены  $S(x)$  на  $r^2$ .

Тогда систему (1.1) запишем как

$$(1.2) \quad \rho v r^2 = 1, \quad \rho v \frac{dv}{dr} = -\frac{dp}{dr}, \quad \frac{d}{dr}(h + v^2) = 0,$$

$$p = \rho T \sum_{i=1}^N \gamma_i, \quad \rho v \frac{d\gamma_i}{dr} = \sum_{j=1}^{N_r} v_{ij} \Gamma_j \phi_j, \quad i = 1, 2, \dots, N, \\ \gamma_i = \frac{c_i}{m_i} m_{*},$$

$$\Gamma_j = \begin{cases} \frac{r_* \rho_*^2}{v_* m_*^2} k_{bj} \rho^2 & \text{для тройных реакций,} \\ \frac{r_* \rho_*}{v_* m_*} k_{bj} \rho & \text{для бинарных реакций,} \end{cases}$$

где  $r_* = f(r) l_*$ ;  $f(r) = dx/dr$ .

При  $f(r) = 1$  система (1.2) тождественно совпадает с уравнениями, описывающими неравновесное течение газа из сферического источника радиуса  $r_* = l_*$  [9].

В результате решения (1.2) с соответствующими начальными условиями все параметры получаются в виде функций от  $r$ . Для перехода к начальной координате  $x$  необходимо установить взаимно-однозначное соответствие между  $x$  и  $r$ . В прямой задаче оно устанавливается непосредственно из соотношения  $S(x) = r^3$ . При этом величина  $f$  легко вычисляется:  $f = 2rdx/dr$ .

В обратной задаче задается профиль давления  $p(x)$ , а функция  $S(x)$  может быть рассчитана после решения всей задачи. Решение обратной задачи можно получить путем решения эквивалентной прямой задачи о течении из источника с переменным радиусом  $r_*(r)$ . С этой целью численно решается система (1.2), а по найденному распределению  $p(r)$  из соотношения

$$(1.3) \quad \frac{p(x)}{p'_0} = \frac{p(r)}{p_*} = \gamma_{\text{ef}}^* M_*^2 p(r)$$

находится соответствие между  $r$  и  $x$ . В (1.3)  $\gamma_{\text{ef}}^*$ ,  $p_*$ ,  $M_*$  — эффективный показатель адиабаты [1], давление и число Маха на поверхности источника  $r = 1$ ;  $p'_0$  — давление в критической точке тела. Из (1.3) следует

$$f(r) = \gamma_{\text{ef}}^* M_*^2 \frac{dx}{dp} \frac{dp}{dr},$$

где величина  $dp/dx$  задана, а  $dp/dr$  находится из решения (1.2). В частном случае при  $\gamma_{\text{ef}}(r) = \text{const}$   $dp/dr$  можно определить на основе изэнтропических формул [9]:

$$\frac{dp(r)}{dr} = \frac{2\gamma_{\text{ef}} p(r)}{r} \left\{ \frac{r^4}{M_*^2} \left[ \gamma_{\text{ef}} M_*^2 p(r) \right]^{\frac{\gamma_{\text{ef}}+1}{\gamma_{\text{ef}}}} - 1 \right\}^{-1}.$$

В общем случае производную  $dp/dr$  нужно вычислять численно совместно с решением уравнений (1.2). Распределение давления на поверхности затупленного осесимметричного тела можно получить либо на основе численных решений, затабулированных в [10], либо по модифицированной формуле Ньютона [11]. Распределение давления по поверхности сферы находится с высокой точностью по формуле [11]

$$(1.4) \quad \frac{p}{p'_0} = 1 - 1,17 \sin^2 \theta + 0,225 \sin^6 \theta, \quad \theta = \frac{\pi}{2} - \alpha, \\ p'_0 = \left\{ 1 + \gamma M_\infty^2 \left( 1 - \frac{\epsilon}{2} \right) \right\} p_\infty, \quad \epsilon = \rho_\infty / \rho_{s0}.$$

Здесь  $\gamma$ ,  $M_\infty$ ,  $\rho_\infty$  — отношение теплоемкостей, число Маха и плотность в набегающем потоке газа;  $\alpha$  — угол между нормалью к телу и горизонтальной осью. Распределение давления вдоль оси следа можно найти по аналогии с сильным цилиндрическим взрывом [11, 12].

Если использовать эту формулу из [12] и срастить ее с формулой (1.4) при  $\theta = \pi/2$  и  $x' = R$ , где  $R$  — радиус сферы, то в следе за сферой имеем

$$(1.5) \quad \frac{p}{p_\infty} = 1 + \frac{\gamma M_\infty^2 k_2(\gamma) \sqrt{\frac{C_x}{2}}}{(x' + x'_0)/R}, \quad \gamma = \gamma_\infty,$$

$$\frac{x'_0}{R} = \frac{k_2(\gamma) \sqrt{\frac{C_x}{2}}}{\left(1 - \frac{\varepsilon}{2}\right) 0,055} - 1, \quad \gamma k_2(\gamma) = \frac{\frac{\gamma}{4-\gamma}}{2^{2-\gamma}},$$

где  $C_x$  — коэффициент сопротивления тела.

Как показано в [13], слаживание давления в небольшой по размеру донной области несильно влияет на решение в следе. Аналогичные выражения для  $p(x)$  могут быть получены и для других тел.

Исключая давление с помощью уравнения состояния пз. уравнений импульса и энергии, а также переходя к новой независимой переменной  $z = r^{-1}$  и переменной интегрирования  $v$ , окончательно найдем

$$(1.6) \quad \frac{dz}{dv} = \frac{\Phi_2}{\Phi_1}, \quad \frac{dT}{dv} = \frac{\Phi_3}{\Phi_1}, \quad \frac{d\gamma_i}{dv} = -\frac{1}{vz^2} \frac{\Phi_2}{\Phi_1} \sum_{j=1}^{N_r} v_{ij} \Gamma_j \Psi_j, \quad i = 1, 2, \dots, N,$$

$$\Phi_1 = \frac{1}{v} \left[ T \left( \sum_{i=1}^N \gamma_i \frac{dH_i}{dT} \right) \left( \frac{2}{z} + \frac{\sum_{i=1}^N \frac{d\gamma_i}{dz}}{\sum_{i=1}^N \gamma_i} \right) - \sum_{i=1}^N \frac{d\gamma_i}{dz} H_i \right],$$

$$\Phi_2 = 2 - \left( \frac{1}{\sum_{i=1}^N \gamma_i} - \frac{T}{v^2} \right) \left( \sum_{i=1}^N \gamma_i \frac{dH_i}{dT} \right), \quad H_i = \frac{h_i m_i}{m_*},$$

$$\Phi_3 = \left( \frac{1}{\sum_{i=1}^N \gamma_i} - \frac{T}{v^2} \right) \left( \sum_{i=1}^N \frac{d\gamma_i}{dz} H_i \right) - 2T \left( \frac{2}{z} + \frac{\sum_{i=1}^N \frac{d\gamma_i}{dz}}{\sum_{i=1}^N \gamma_i} \right).$$

Начальные условия к системе (1.6):

$$v = 1, z = 1, T = T_* R_A m_*^{-1} v_*^{-2}, \gamma_i = \gamma_{i*}, \quad i = 1, 2, \dots, N.$$

2. Преобразованием координат  $z = r^{-1}$  проведено интегрирование уравнений в ограниченной области  $0 < z \leq 1$ . Использован метод решения уравнений, аналогичный [5, 9], который позволил по единой неявной разностной схеме с высокой точностью и достаточно большим шагом расчитывать области течения как близкие к равновесию, так и существенно неравновесные.

Система дифференциальных уравнений (1.6) заменялась следующими разностными соотношениями:

$$(2.4) \quad \frac{\gamma_{i,m+1} - \gamma_{i,m}}{\Delta v} = -\frac{s W_{i,m+1}}{v_{m+1} z_{m+1}^2} \frac{\Phi_{2,m+1}}{\Phi_{1,m+1}} - \frac{(1-s) W_{i,m}}{v_m z_m^2} \frac{\Phi_{2,m}}{\Phi_{1,m}},$$

$$W_{i,m} = \sum_{j=1}^{N_r} v_{ij} \Gamma_{j,m} \Psi_{j,m}, \quad i = 1, 2, \dots, N_L,$$

$$\frac{T_{m+1} - T_m}{\Delta v} = s \frac{\Phi_{3,m+1}}{\Phi_{1,m+1}} + (1-s) \frac{\Phi_{3,m}}{\Phi_{1,m}}, \quad \frac{z_{m+1} - z_m}{\Delta v} = s \frac{\Phi_{2,m+1}}{\Phi_{1,m+1}} +$$

$$+ (1-s) \frac{\Phi_{2,m}}{\Phi_{1,m}},$$

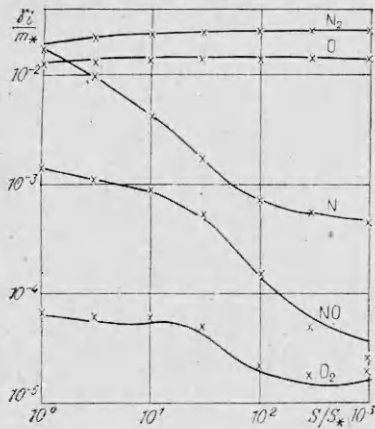


Рис. 1.

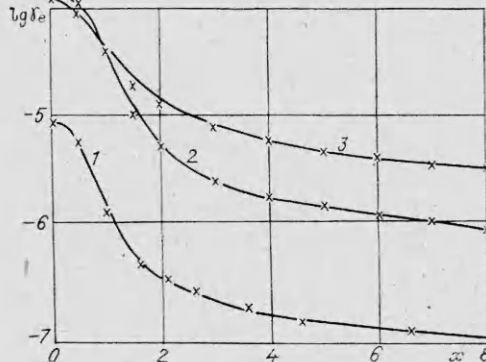


Рис. 2.

где  $0 \leq s \leq 1$ ;  $\Delta v$  — шаг интегрирования;  $m$  — номер узла расчетной сетки;  $s$  — весовой множитель;  $N_L$  — число продуктов независимых реакций. В расчетах полагалось  $s = 0,6$ ,  $\Delta v = 10^{-3}$ . Вся система нелинейных уравнений решалась методом Ньютона по стандартной программе.

Рассматривался воздух, состоящий из 18 компонентов:  $O$ ,  $N$ ,  $e$ ,  $O_2$ ,  $N_2$ ,  $NO$ ,  $NO^+$ ,  $O_2^+$ ,  $N_2^+$ ,  $O^+$ ,  $N^+$ ,  $O_2^-$ ,  $O^-$ ,  $NO_2$ ,  $O_3$ ,  $N_2O$ ,  $NO_2^-$ ,  $O_3^-$ , между которыми протекает 72 реакции. Система основных химических реакций бралась в соответствии с рекомендациями [1, 3, 8, 9, 14] и приведена в таблице, где константы скоростей реакций представлены в виде  $k = a \cdot 10^b T^b \times \exp(-C/T)$ , температура дана в кельвинах, размерности констант скоростей реакций — в  $(\text{см}^3/\text{моль})^{q-1} \cdot \text{с}^{-1}$  ( $q$  — порядок реакции), индексы  $f$  и  $b$  означают прямую и обратную реакции соответственно. Необходимые константы равновесия и термодинамические свойства взяты из [14, 15].

3. Проведено сравнение расчетов распределений неравновесных параметров воздуха по изложенному выше способу с результатами [2—7], полученными по методу трубок тока как для прямых, так и для обратных задач.

На рис. 1 приведено распределение концентраций компонентов при расширении воздуха в гиперзвуковом сопле для  $T_* = 10\ 000$  К,  $\rho_* = 5,35 \cdot 10^7$  Па,  $r_* = 1$  см (линии) из [3]. Форма сопла задавалась в виде

$$S/S_* = 1 + (x/r_*)^2, r_* = l_*/\tan \theta$$

(сопло, приближающееся к коническому с полууглом раствора  $\theta$ ). Крестиками на рис. 1—4 отмечены результаты, полученные по вышеизложенному методу. Из рис. 1 видно хорошее совпадение с данными [3]. Некоторое расхождение значений концентраций  $NO$  и  $O_2$  при  $S/S_* > 10^2$  объясняется различием в кинетике реакций настоящей работы от принятой в [3].

Учет более полной системы реакций приводит к заметному отличию в распределениях концентраций только при  $S/S_* > 10$ . Поэтому на небольших расстояниях от критического сечения сопла можно использовать более простую систему реакций (см. [2—7]).

Проведены расчеты с разным распределением давления в области за срезом тела, где обычно происходит «шивание» формул для давления на теле и по взрывной аналогии в следе, и выяснено, что изменение распределений давления в ближнем следе мало влияет на результаты расчетов распределений неравновесных параметров. Так, изменение давления на 25% на расстоянии за телом  $x = x/R \sim 10$  ( $R$  — радиус миделя тела) приводило к изменению температуры газа менее чем на 1%, а числовой электронной концентрации в единице объема менее чем на 5%. Это оправдывает использование асимптотических формул для слаженного профиля давления в сравнительно небольшой по размерам области ближнего следа.

j	Реакции	$k_f = a_f 10^{n_f T^l f} e^{-\frac{C_f}{T}}$				$k_b = a_b 10^{n_b T^l b} e^{-\frac{C_b}{T}}$			
		$a_f$	$n_f$	$l_f$	$C_f$	$a_b$	$n_b$	$l_b$	$C_b$
1	$O_2 + O_2 \rightleftharpoons O + O + O_2$	1,80	21	-1,5	59 500	1,48	18	-1,0	0
2	$O_2 + O \rightleftharpoons O + O + O$	4,86	21	-1,5	59 500	4,00	18	-1,0	0
3	$O_2 + N_2 \rightleftharpoons O + O + N_2$	4,04	20	-1,5	59 500	3,33	17	-1,0	0
4	$O_2 + N \rightleftharpoons O + O + N$	3,64	18	-1,0	59 500	3,00	15	-0,5	0
5	$O_2 + NO \rightleftharpoons O + O + NO$	3,64	18	-1,0	59 500	3,00	15	-0,5	0
6	$N_2 + O_2 \rightleftharpoons N + N + O_2$	2,00	17	-0,5	113 000	1,10	16	-0,5	0
7	$N_2 + N_2 \rightleftharpoons N + N + N_2$	4,92	17	-0,5	113 000	2,70	16	-0,5	0
8	$N_2 + O \rightleftharpoons N + N + O$	2,00	17	-0,5	113 000	1,10	16	-0,5	0
9	$N_2 + N \rightleftharpoons N + N + N$	2,18	22	-1,5	113 000	1,20	21	-1,5	0
10	$N_2 + NO \rightleftharpoons N + N + NO$	2,00	17	-0,5	113 000	1,10	16	-0,5	0
11	$NO + O_2 \rightleftharpoons N + O + O_2$	4,06	20	-1,5	75 500	1,00	20	-1,5	0
12	$NO + N_2 \rightleftharpoons N + O + N_2$	4,06	20	-1,5	75 500	1,00	20	-1,5	0
13	$NO + O \rightleftharpoons N + O + O$	8,12	21	-1,5	75 500	2,00	21	-1,5	0
14	$NO + N \rightleftharpoons N + O + N$	8,12	21	-1,5	75 500	2,00	21	-1,5	0
15	$NO + NO \rightleftharpoons N + O + NO$	8,12	21	-1,5	75 500	2,00	21	-1,5	0
16	$O + N_2 \rightleftharpoons NO + N$	5,92	13	0,0	37 500	1,32	13	0	0
17	$O + NO \rightleftharpoons N + O_2$	3,20	9	1,0	19 700	9,56	11	0,5	3 700
18	$N + O \rightleftharpoons NO^+ + e$	0,65	12	0,0	31 900	1,80	21	-1,5	0
19	$N_2 + O_2 \rightleftharpoons NO + NO$	4,56	24	-2,5	64 600	3,40	21	-2,0	43 100
20	$NO^+ + O_2 \rightleftharpoons O_2^+ + NO$	4,40	15	0,0	33 650	5,50	14	0	0
21	$NO^+ + NO \rightleftharpoons N_2 + O_2^+$	3,20	8	0,0	11 950	6,00	8	0	0
22	$O + O \rightleftharpoons O_2^+ + e$	6,00	8	0,50	80 800	5,00	19	-1,0	0
23	$NO^+ + NO \rightleftharpoons O_2 + N_2^+$	1,40	11	0,0	51 530	1,80	10	0	0
24	$NO^+ + N_2 \rightleftharpoons NO + N_2^+$	3,80	15	0,0	73 230	2,70	14	0	0
25	$N + N \rightleftharpoons N_2^+ + e$	8,50	9	1,0	67 700	5,00	18	-0,5	0
26	$O_2^+ + O \rightleftharpoons O^+ + O_2$	3,60	12	0,0	16 480	1,20	13	0	0
27	$NO^+ + O \rightleftharpoons O^+ + NO$	1,80	13	0,0	50 130	1,20	13	0	0
28	$NO^+ + N \rightleftharpoons N_2 + O^+$	6,40	11	0,0	12 180	1,80	12	0	0
29	$N_2^+ + O \rightleftharpoons NO + N^+$	1,80	14	0,0	25 760	6,00	13	0	0
30	$O^+ + N \rightleftharpoons N^+ + O$	1,33	15	0,0	10 910	3,00	14	0	0
31	$NO + O_2 \leftarrow NO^+ + O_2^-$					1,20	17	0	0
32	$O_2^- + O_2 \rightleftharpoons e + O_2 + O_2$	5,418	9	1,5	4 990	1,445	18	0	0
33	$O_2^- + N_2 \rightleftharpoons e + O_2 + N_2$	2,528	8	1,5	4 990	3,02	16	0	0
34	$O_2^- + NO \rightleftharpoons e + O_2 + NO$	6,00	7	1,5	5 330	1,00	16	0	0
35	$O^- + O \rightleftharpoons e + O_2 + O$	6,00	7	1,5	5 330	1,00	16	0	0
36	$O^- + O \leftarrow e + O + O$					3,02	17	0	0
37	$O^- + O_2 \leftarrow e + O + O_2$					1,445	18	0	0
38	$O^- + NO \leftarrow e + O + NO$					3,02	17	0	0
39	$O^- + N_2 \rightleftharpoons e + O + N_2$	2,40	11	1,0	16 900	2,09	18	-0,5	0
40	$O_2 + e \leftarrow O^- + O$					8,428	13	0	0
41	$O_2^- + O \rightleftharpoons O_2 + O^-$	4,816	13	0,0	0	2,08	12	0,5	16 200
42	$NO + O \leftarrow NO^+ + O^-$					4,20	17	0	0
43	$NO_2 + N \rightleftharpoons NO + NO$	4,00	12	0,0	0	1,08	11	0	39 200
44	$NO_2 + O \rightleftharpoons NO + O_2$	1,00	13	0,0	292	1,98	14	-0,5	23 600
45	$NO_2 + e \leftarrow O^- + NO$					1,00	14	0	0
46	$NO_2 + O_2 \rightleftharpoons NO + O + O_2$	1,57	17	0,0	36 300	1,45	15	0	-970
47	$NO_2 + N_2 \rightleftharpoons NO + O + N_2$	1,57	17	0,0	36 300	1,45	15	0	-970
48	$NO_2 + NO_2 \rightleftharpoons NO + NO + O_2$	4,07	12	0,0	13 543	7,25	9	0	0

J	Реакции	$k_f = a_f 10^{n_f T^l f_e} \frac{c_f}{T}$				$k_b = a_b 10^{n_b T^l b_e} \frac{c_b}{T}$			
		$a_f$	$n_f$	$l_f$	$c_f$	$a_b$	$n_b$	$l_b$	$c_b$
49	$\text{NO}_2 + \text{O}^- \leftarrow \text{e} + \text{O} + \text{NO}_2$					3,02	17	0	0
50	$\text{O}_3 + \text{N}_2 \rightleftharpoons \text{O} + \text{O}_2 + \text{N}_2$	1,926	15	0,0	12 000	1,27	13	0	-900
51	$\text{O}_3 + \text{O}_2 \rightleftharpoons \text{O} + \text{O}_2 + \text{O}_2$	2,05	15	0,0	12 000	1,486	13	0	-900
52	$\text{O}_3 + \text{O}_3 \rightleftharpoons \text{O} + \text{O}_2 + \text{O}_3$	4,635	15	0,0	12 000	5,436	13	0	-750
53	$\text{NO}_2 + \text{O}_2 \rightleftharpoons \text{O}_3 + \text{NO}$	6,622	11	0,0	25 100	4,816	11	0	1 200
54	$\text{NO} + \text{O}_2 \leftarrow \text{O}_3 + \text{N}$					2,00	10	0	293
55	$\text{O}_3 + \text{O} \rightleftharpoons \text{O}_2 + \text{O}_2$	8,428	11	0,0	1 500	6,622	12	0	49 600
56	$\text{O}_3 + \text{e} \leftarrow \text{O}_2^- + \text{O}$					1,00	14	0	0
57	$\text{N}_2\text{O} + \text{O} \rightleftharpoons \text{N}_2 + \text{O}_2$	6,30	14	0,0	13 437	9,00	11	0,5	53 200
58	$\text{N}_2\text{O} + \text{O} \rightleftharpoons \text{NO} + \text{NO}$	3,63	13	0,0	13 689	2,19	14	0	39 356
59	$\text{N}_2\text{O} + \text{O} \rightleftharpoons \text{NO}_2 + \text{N}$	6,60	15	-1,0	21 100	4,80	12	0	0
60	$\text{NO}_2 + \text{N}_2 \leftarrow \text{N}_2\text{O} + \text{NO}$					2,512	14	0	25 164
61	$\text{O} + \text{NO}_2^- \leftarrow \text{O}^- + \text{NO}_2$					7,20	14	0	0
62	$\text{O}_2 + \text{NO}_2^- \leftarrow \text{O}_2^- + \text{NO}_2$					4,316	14	0	0
63	$\text{NO} + \text{NO}_2 \leftarrow \text{NO}^+ + \text{NO}_2^-$					1,20	17	0	0
64	$\text{NO}_2^- + \text{O}_2 \leftarrow \text{O}^- + \text{NO} + \text{O}_2$					1,44	19	0	0
65	$\text{NO}_2^- + \text{N}_2 \leftarrow \text{O}^- + \text{NO} + \text{N}_2$					7,40	15	0	0
66	$\text{NO}_2^- + \text{O} \leftarrow \text{O}^- + \text{NO} + \text{O}$					7,40	16	0	0
67	$\text{NO}_2^- + \text{NO} \leftarrow \text{O}^- + \text{NO} + \text{NO}$					7,40	16	0	0
68	$\text{O}_3^- + \text{O}_2 \leftarrow \text{e} + \text{O}_3 + \text{O}_2$					1,44	18	0	0
69	$\text{O}_3^- + \text{O}_2 \leftarrow \text{O}_2^- + \text{O} + \text{O}_2$					5,436	16	0	0
70	$\text{O}_2 + \text{O}_2 + \text{e} \leftarrow \text{O}_3^- + \text{O}$					8,428	13	0	0
71	$\text{NO}_2^- + \text{O}_2 \leftarrow \text{O}_3^- + \text{NO}$					6,00	12	0	0
72	$\text{NO} + \text{O}_3 \leftarrow \text{NO}^+ + \text{O}_3^-$					1,20	17	0	0

На рис. 2 представлены распределения мольно-массовых концентраций электронов  $\gamma_e$  в зависимости от координаты  $x$  (нормирована на радиус), взятой вдоль поверхности затупленного конуса с радиусом кривизны затупления  $R = 15$  см и  $\theta = 6^\circ$ . Кривая 1 соответствует обтеканию тела при  $V_\infty = 4$  км/с на высоте  $H = 15$  км, 2 —  $V_\infty = 5$  км/с и  $H = 30$  км, 3 —  $V_\infty = 5$  км/с и  $H = 45$  км (результаты [7]). Сравнение проводилось также с данными [2, 4, 6], из чего следует, что предлагаемая методика приводит к хорошему согласию распределений неравновесных параметров вдоль оси сопел и по поверхности затупленных тел с результатами численных расчетов [2—7] при  $x < 10$ . При больших расстояниях имеется отличие от данных [2—7] в распределениях неравновесных концентраций. Это связано с тем, что при расширении потока происходят его охлаждение и образование отрицательных ионов и трехатомных молекул, поэтому необходимо учитывать более полную систему реакций и компонентов, чем в [2—7].

4. Настоящая методика расчета позволяет определить также распределение неравновесных параметров на внешней границе вязкого следа и начальные условия в следе за моделью в аэробаллистическом эксперименте.

На рис. 3, 4 приведены результаты расчетов неравновесных параметров воздуха на поверхности сферически затупленных моделей с диаметром 0,5 см и в ближнем следе за ними для характерных условий аэробаллистического эксперимента ( $T_\infty = 290$  К): 1—9 — соответствуют  $V_\infty = 4$  км/с,

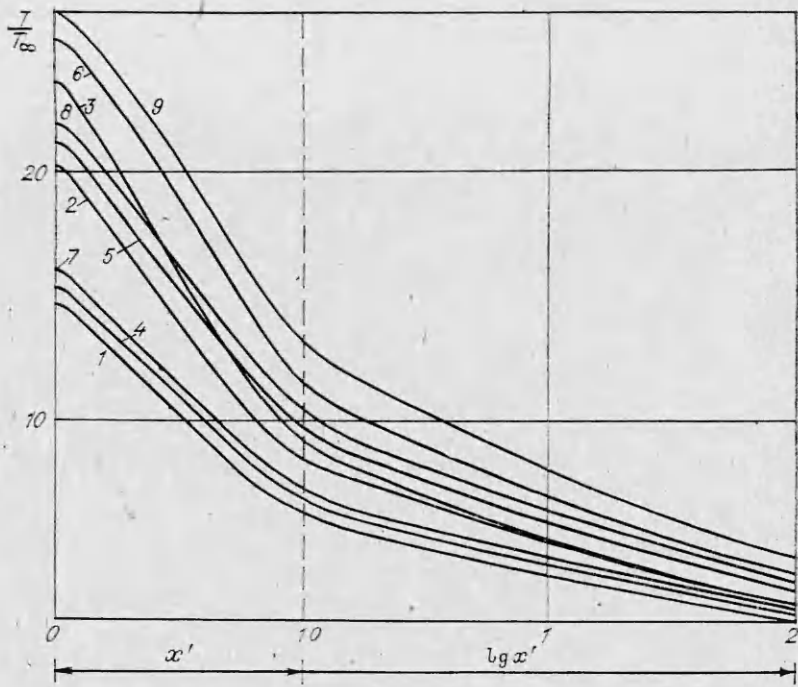


Рис. 3.

$p_\infty = 1,33 \cdot 10^3$  Па;  $V_\infty = 5$  км/с,  $p_\infty = 1,33 \cdot 10^3$  Па;  $V_\infty = 6$  км/с,  $p_\infty = 1,33 \cdot 10^3$  Па;  $V_\infty = 4$  км/с,  $p_\infty = 5,33 \cdot 10^3$  Па;  $V_\infty = 5$  км/с,  $p_\infty = 5,33 \cdot 10^3$  Па;  $V_\infty = 6$  км/с,  $p_\infty = 5,33 \cdot 10^3$  Па;  $V_\infty = 4$  км/с,  $p_\infty = 1,07 \cdot 10^4$  Па;  $V_\infty = 5$  км/с,  $p_\infty = 1,07 \cdot 10^4$  Па;  $V_\infty = 6$  км/с,  $p_\infty = 1,07 \cdot 10^4$  Па. Распределение давления вдоль оси симметрии задавалось по формуле (1.5). Координата  $x'$  вдоль оси симметрии отсчитывалась от критической точки тела и нормирована на радиус затупления. Численное решение на рис. 3, 4, строго говоря, справедливо только до точки пересечения невязкой трубы тока с границей ядра турбулентного вязкого слоя, что составляет несколько десятков калибров диаметра тела. Однако для оценок на рис. 3, 4 результаты даны для больших расстояний.

Наряду с приведенным выше численным решением при некоторых предположениях важно получить простое аналитическое решение для распределения электронной концентрации в трубке тока.

В [1, 9] показано, что при околоволновом течении можно ввести эффективный постоянный показатель  $\gamma_{\text{eff}}$ , который позволяет получить простое решение. При  $1,5 \leq r \leq 15$  приближенно представим его в виде следующих зависимостей [16]:

$$\begin{aligned}
 (4.1) \quad v(r) &= [\eta(r) g(M_*)/\varepsilon_1]^{1/2}, \quad \varepsilon_1 = \frac{\gamma_{\text{eff}} - 1}{\gamma_{\text{eff}} + 1}, \\
 T(r) &= \frac{\gamma_{\text{eff}} + 1}{2\gamma_{\text{eff}}} \varepsilon_1^{\frac{\gamma_{\text{eff}} - 1}{2}} r^{2(1-\gamma_{\text{eff}})} g(M_*), \\
 \rho(r) &= \sqrt{\varepsilon_1 / [\eta(r) g(M_*)]} r^{-2}, \\
 p(r) &= \frac{i}{2\gamma_{\text{eff}}} [(\gamma_{\text{eff}}^2 - 1) \varepsilon_1^{\frac{\gamma_{\text{eff}} - 1}{2}} g(M_*) / \eta(r)]^{1/2} r^{-2\gamma_{\text{eff}}}, \\
 \eta(r) &= 1 - \varepsilon_1^{\frac{\gamma_{\text{eff}} - 1}{2}} r^{-2(\gamma_{\text{eff}} - 1)} \sigma^{-1}(M_*), \\
 \sigma(M_*) &= (\varepsilon_1 M_*^2 + 1 - \varepsilon_1)^{\frac{\gamma_{\text{eff}} + 2}{2}} / M_*^{\gamma_{\text{eff}} - 1}, \quad g(M_*) = (\varepsilon_1 M_*^2 + 1 - \varepsilon_1) / M_*^2.
 \end{aligned}$$

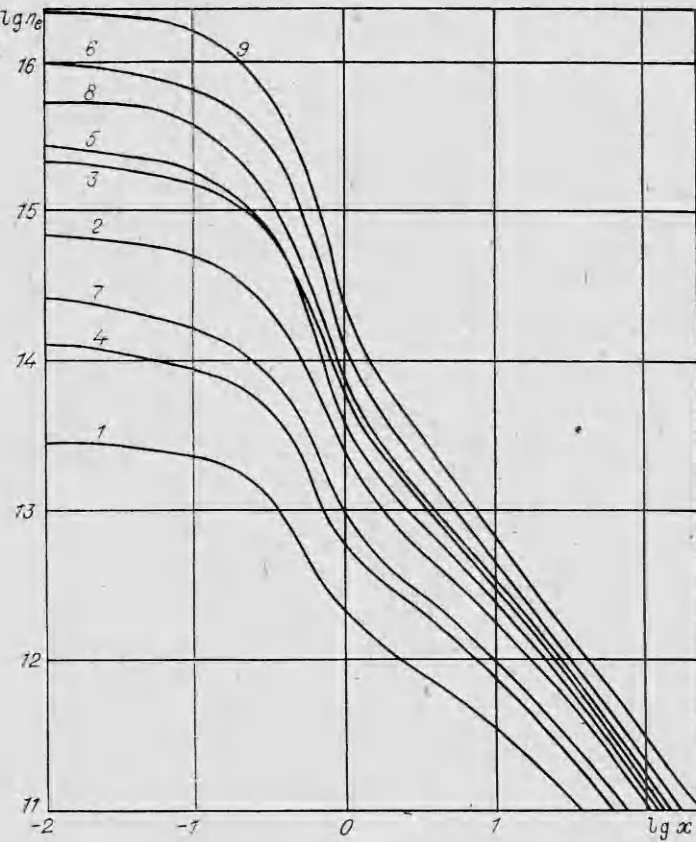


Рис. 4.

Расчет по формулам (4.1) приводит к отличию от точных численных результатов для профилей скорости на 1% и температуры на 8% в диапазоне  $1,5 \leq r \leq 15$ . Для простоты предположим, что от критической точки тела вдоль трубы тока происходит рекомбинация электронов в реакции  $e + NO^+ \rightarrow N + O$ . Тогда уравнение для мольно-массовой концентрации  $\gamma_e$  запишем как

$$(4.2) \quad \rho v \frac{d\gamma_e}{dx} = - \frac{K_0}{m_*} \frac{\gamma_e^2 \rho^2}{T^{3/2}}, \quad \gamma_e(x=0) = \gamma_{e*},$$

где  $m_*$  — молекулярный вес;  $K_0 = 1,8 \cdot 10^{21} \text{ см}^3 \text{ K}^{3/2}/(\text{моль} \cdot \text{с})$ ;  $n_{e*} = \gamma_{e*} p_* / k T_*$ ; звездочкой отмечены параметры в точке торможения.

Введем безразмерные параметры:

$$(4.3) \quad \bar{v} = v/v_*, \quad \bar{\rho} = \rho/\rho_*, \quad \bar{x} = x/R, \quad \bar{T} = T/T_*.$$

В уравнении (4.2) перейдем к координате  $r$  (черточки опускаем):

$$(4.4) \quad v \frac{d\gamma_e}{dr} = - \frac{K_0}{m_*} \frac{\gamma_e^2 \rho(r) f(r)}{[T(r)]^{3/2}}, \quad f = \frac{dx}{dr}, \quad \gamma_e(r=1) = \gamma_{e*}.$$

Решение уравнения (4.4) приводится к виду

$$(4.5) \quad \frac{\gamma_e(r)}{\gamma_{e*}} = \left\{ 1 + \frac{K_0}{m_*} \frac{\gamma_{e*} \rho_* R}{v_* T_*^{3/2}} F(r) \right\}^{-1}, \quad F(r) = \int_1^r \frac{\rho(r) f(r) dr}{v(r) [T(r)]^{3/2}}.$$

Соответствие между  $x$  и  $r$  устанавливается с помощью соотношения [9]

$$r^2 = \left\{ [p(x)]^{1/\gamma_{ef}} \sqrt{1 + \lambda_* - \lambda_* [p(x)]^{\frac{2}{\gamma_{ef}}}} \right\}^{-1}, \quad \lambda_* = \frac{2}{(\gamma_{ef} - 1) M_*^2}.$$

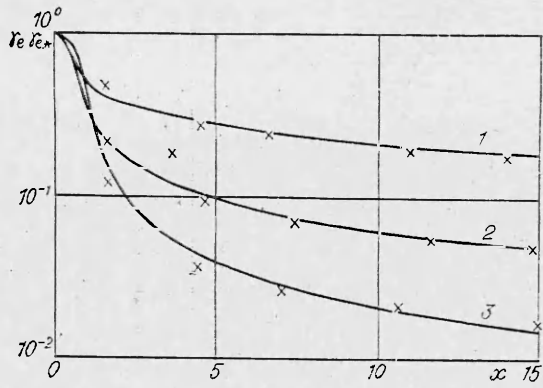


Рис. 5.

Используя (4.1), при  $r \geq 2,5$  ( $x \geq 1,6$ ) получаем

$$(4.6) \quad F(r) = A(\gamma_{\text{ef}}) + \\ + B(\gamma_{\text{ef}}) I(r), \quad I(r) = \frac{t}{y} \left( 1 + \right. \\ \left. + \frac{2t^2}{3y^2} + \frac{t^4}{5y^4} \right), \\ y = r^{1-\gamma_{\text{ef}}}, \quad t = \sqrt{a^2 - y^2}, \\ a^2 = \frac{1-\gamma_{\text{ef}}}{\epsilon_1^2} \sigma(M_*).$$

При обтекании сферически затупленной модели сравне-

ние с точными расчетами для  $\gamma_{\text{ef}} \approx 1,2$  дало  $A = -0,806$ ,  $B = 0,642$ .

Результаты точных расчетов  $\gamma_e(x)$  по сравнению с расчетами по формулам (4.5) и (4.6) при  $x' \sim 1$  могут отличаться в несколько раз. Это отличие связано с использованием в аналитическом решении (4.5) только одной реакции рекомбинации, в то время как в действительности на электронную концентрацию влияет большее число реакций с заряженными частицами. Поэтому в рамках одной основной модельной реакции рекомбинации введем эффективное значение константы скорости реакции  $K_{\text{eff}}$ , которое учитывает влияние остальных (неучтенных) реакций. Сопоставление с точными расчетами при  $10 \leq M_\infty \leq 20$  и  $1,33 \cdot 10^3 \text{ Па} \leq p_\infty \leq 1,33 \cdot 10^4 \text{ Па}$  дает

$$K_{\text{eff}} = (-0,86M_\infty + 26,58)(-0,005p_\infty + 1,17) \cdot 10^{20} \text{ см}^3 K^{3/2}/(\text{моль} \cdot \text{с}).$$

На рис. 5 построена зависимость  $\gamma_e(x)/\gamma_{e*}$  для сферы  $R = 0,25 \text{ см}$ , где 1 — численные результаты при  $M_\infty = 11,7$  и  $p_\infty = 1,07 \cdot 10^4 \text{ Па}$ , 2 —  $M_\infty = 14,7$  и  $p_\infty = 5,33 \cdot 10^3 \text{ Па}$ , 3 —  $M_\infty = 17,6$  и  $p_\infty = 1,07 \cdot 10^4 \text{ Па}$ . Там же для сравнения крестиками нанесены результаты расчетов по формулам (4.5) и (4.6), видно хорошее совпадение.

5. Рассмотрим более подробно постановку новых вариационных задач неравновесной аэродинамики. При движении моделей с гиперзвуковыми скоростями в ударном слое и следе за телом образуются сильно возбужденные квантовые состояния атомов, молекул, а также заряженные частицы. Наличие заряженных частиц (в основном электронов) и излучающих компонентов позволяет проводить СВЧ-диагностику и оптические измерения в газовом потоке около летящей модели в аэробаллистическом эксперименте. Интегральная интенсивность оптических или СВЧ-сигналов при регистрации определяется режимом течения, геометрическими размерами и формой тела. В связи с этим поставим задачу: найти форму тела из условия, чтобы некоторый функционал  $J$ , зависящий от какой-либо концентрации, был минимальным при различных изопериметрических условиях.

Пусть начало координат располагается в критической точке осесимметричного тела, ось  $OX$  направлена вдоль его оси симметрии, ось  $OY$  — перпендикулярно оси  $OX$ . Уравнение, описывающее форму тела в этих координатах:  $y = y(x)$ , причем  $y(0) = 0$ .

В качестве функционалов  $J$ , зависящих от формы осесимметричного тела  $y = y(x)$ , в разных задачах могут быть выбраны следующие:

$$(5.1) \quad J = c_i(x = L),$$

где  $c_i$  — массовая концентрация  $i$ -го компонента, определяющая рассматриваемый процесс;  $L$  — длина тела (функционал (5.1) зависит от формы тела сложным образом через распределение давления по его поверхности);

$$(5.2) \quad J = 2\pi \int_0^{\Delta_s(L)} \rho u c_i y dz,$$

где  $J$  выражает поток  $i$ -го компонента через ударный слой толщины  $\Delta_s$ ;  $\rho$ ,  $u$  — плотность и скорость газа;  $z$  — координата по нормали к поверхности тела (выражение (5.2) определяет решение уравнений, описывающих течение в вязком турбулентном следе);

$$(5.3) \quad J = S_1^{-1} \int_{S_1} c_i ds.$$

Здесь  $ds$  — элемент боковой поверхности тела;  $S_1$  — площадь лобовой части тела;  $J$  выражает среднее значение  $i$ -й концентрации по поверхности тела. Решения вариационных задач о теле с минимальным значением одного из функционалов (5.1) — (5.3) получаются при различных комбинациях длины, радиусов носка и миделя, объема и боковой поверхности тела на основе разработанной выше методики совместно с методом локальных вариаций.

Определение оптимальных форм тел в указанном смысле позволит уменьшить (или увеличить) интенсивность излучения и количество заряженных частиц около моделей и в следах за ними, что важно при регистрации физических процессов в аэробаллистических экспериментах.

#### ЛИТЕРАТУРА

1. Агафонов В. П., Вертушкин В. К., Гладков А. А., Полянский О. Ю. Неравновесные физико-химические процессы в аэродинамике. М.: Машиностроение, 1972.
2. Мартин Дж. Вход в атмосферу. М.: Мир, 1969.
3. Lordi J. A., Mates R. E. Nonequilibrium effects of high-enthalpy expansions of air.— AIAA J., 1965, v. 3, N 10.
4. Скурин Л. И. К вопросу о моделировании воздушной плазмы на баллистической трассе в смеси воздуха с тяжелым газом.— ЖТФ, 1980, т. 50, вып. 4.
5. Камзолов В. Н., Пирумов У. Г. Расчет неравновесных течений в соплах.— Изв АН СССР. МЖГ, 1966, № 6.
6. Стулов В. П., Шкадова В. П. Об одномерном неравновесном течении воздуха.— Изв. АН СССР. МЖГ, 1968, № 2.
7. Саяпин Г. Н. Неравновесные концентрации электронов на поверхности тонких затупленных конусов при обтекании сверхзвуковым потоком воздуха.— Тр. ЦАГИ, 1975, вып. 1656.
8. Spurk I. И., Gerber M., Sedney R. Characteristic calculation of flowfields with chemical reactions.— AIAA J., 1966, v. 4, N 1.
9. Еремейцев И. Г., Пилюгин И. И., Тихомиров С. Г. Неравновесное течение воздуха из сверхзвукового сферического источника.— В кн.: Гиперзвуковые течения при обтекании тел и в следах/Под ред. Г. Г. Черного, Г. А. Тирского. М.: Изд-во МГУ, 1983.
10. Дьяконов Ю. П., Пчелкина Л. В., Сандомирская И. Д. Сверхзвуковое обтекание затупленных тел. М.: Изд-во МГУ, 1971.
11. Лунев В. В. Гиперзвуковая аэrodинамика. М.: Машиностроение, 1975.
12. Седов Л. И. Методы подобия и размерности в механике. М.: Наука, 1965.
13. Lin S. C., Hayes T. E. A quasi-one-dimensional treatment of chemical reactions in turbulent wakes of hypersonic objects.— AIAA J., 1964, v. 2, N 7.
14. Sang-Wook Kang. Nonequilibrium, ionized, hypersonic flow over a blunt body at low Reynolds number.— AIAA J., 1970, v. 8, N 7.
15. Глушко В. П., Гурвич Л. В. и др. Термодинамические свойства индивидуальных веществ. М.: Наука, 1978.
16. Еремейцев И. Г., Пилюгин И. Н. Трение и теплообмен в ламинарном и турбулентном пограничных слоях при неравномерном сверхзвуковом обтекании осесимметричных тел.— Изв. АН СССР. МЖГ, 1984, № 2.

Поступила 15/II 1985 г.